

## بررسی روابط تبارزایی در همتافت گونه‌ای گلپر (*Heracleum sp.*) ایران با استفاده از نشانگر ITS و *rnl-rpl32*

مریم عیدی<sup>۱</sup>، محمد تقی عبادی<sup>۱\*</sup>، محسن فلاحتی عنبران<sup>۲</sup> و عبدالعلی شجاعیان<sup>۱</sup>

<sup>۱</sup> ایران، تهران، دانشگاه تربیت مدرس، دانشکده کشاورزی، گروه علوم باگبانی

<sup>۲</sup> ایران، تهران، دانشگاه تهران، دانشکده زیست‌شناسی، گروه علوم گیاهی

تاریخ دریافت: ۱۳۹۸/۷/۲۸ تاریخ پذیرش: ۱۳۹۸/۸/۱۳

### چکیده

تیره کرفسیان (Apiaceae) یکی از تیره‌های بزرگ گیاهی با پراکنش گسترده بوده که در ایران حدود ۱۱۴ سرده شامل ۳۶۳ گونه گزارش شده است. سرده گلپر (*Heracleum*) با دارا بودن بیش از ۱۰۰ گونه در جهان، دارای هشت گونه در ایران است که سه گونه آن اختصاصی می‌باشد. بر اساس تشریح آرایه‌شناسی در فلور ایرانیکا گونه‌های گزارش شده گلپر در ایران در بخش‌های *Wendia* و *Pubescentia* شباهتهای ریخت‌شناسی زیادی داشته به طوری که برخی از صفات، تنوع جغرافیایی وسیعی را نشان داده که شناسایی دقیق گونه‌ها مشکل می‌باشد. به همین منظور، از نشانگرها مولکولی شامل توالی هسته‌ای ITS و کلروپلاستی *rpl32-trnL* برای ارزیابی روابط ژنتیکی جمعیت‌های مختلف از گونه‌های ایران و همچنین گونه‌های دیگر این سرده استفاده شد. تجزیه و تحلیل تبارزایشی به روش استنباط بیزی انجام شد. نتایج نشان داد که توپولوژی درخت تبارزایی حاصل از توالی نسبتاً مشابه بود با این تفاوت که تعداد جایگاه‌های اطلاع‌رسان در نشانگر ITS به مراتب بیشتر از *rpl32-trnL* بود و ترکیب دو توالی توانست گونه‌های مربوط به بخش‌های مختلف را از هم جدا کند ولی توانست به صورت کامل گونه‌های داخل بخش‌ها را از یکدیگر جدا کند. نتایج حاصل از این تحقیق نشان می‌دهد که اطلاعات مولکولی، طبقه‌بندی موروف‌لوژی در سطح بخش‌های موجود در فلور ایرانیکا را تأیید می‌کند. علاوه بر این جمعیت‌های گونه‌های مختلف داخل هر بخش به غیر از گونه *H. gorganicum* از یکدیگر قابل تمایز نیستند. به منظور تأیید هر یک از گونه‌های معروف‌شده انحصاری ایران از جمله *H. rechingeri* و *H. anisactis* به عنوان گونه یکتا تهیه کلید جدید آرایه‌شناسی ضروری به نظر می‌رسد.

واژه‌های کلیدی: همتافت گونه‌ای، روابط تبارزایشی، *Heracleum*، توالی هسته‌ای ITS، توالی کلروپلاستی *rpl32-trnL*

\* نویسنده مسئول، تلفن: ۰۲۱۴۸۲۹۰۸۷، پست الکترونیکی: mt.ebadi@modares.ac.ir

### مقدمه

در نواحی مرطوب در چمنزارها و کنار جویبارها، باغها و رودخانه‌ها در اکثر استانهای شمالی، شمال غربی و شمال شرقی و مرکزی از جمله خراسان، سمنان، گلستان، تهران، مازندران، گیلان، قزوین، اردبیل، آذربایجان شرقی و غربی، زنجان، کردستان، چهار محال و بختیاری، لرستان، کهگیلویه و بویراحمد، فارس و یزد می‌روید (۴). اثرات و خواص درمانی اندامهای هوایی گیاه شامل برگها و عمدتاً میوه در

سرده گلپر (*Heracleum*) از لحاظ تنوع گونه‌ای یک سرده بزرگ از تیره کرفسیان (Apiaceae) و بزرگ‌ترین سرده در طایفه Tordylieae است که بر طبق تحقیقات انجام شده شامل حدود ۹۰ تا ۱۲۰ گونه است (۱۷). از هشت گونه گزارش شده در ایران، سه گونه از آنها شامل *H. anisactis* *H. rechingeri* *H. gorganicum* انحصاری هستند (۳). در ایران گونه‌های این سرده اغلب

ژنوم هسته‌ای و یا ژنوم اندامکها برای ترسیم روابط تبارزایی موجودات زنده از جمله گیاهان مورد استفاده قرار می‌گیرند. Logacheva و همکاران روابط تبارزایی ۴۰ گونه آسیای غربی *Heracleum* را با استفاده از توالیهای ITS1 و ITS2 مورد مطالعه قرار دادند و بخشه *Pubescensia* به عنوان یک گروه تکنیا (Monophyletic) تأیید شد، در مقابل بخش‌های *Villosa* و *Heracleum* هر کدام چندینا (Polyphyletic) و بخشه *Wendia* پارافیلیتیک (Paraphyletic) بودند و به طور کلی گونه‌های گلپر در دو کlad مختلف قرار گرفتند (۱۷). Yu و همکاران روابط تبارزایشی گونه‌های گلپر از مبداء چین و همچنین گونه‌های *Heracleum* از منشاء منطقه هیمالیا را با استفاده از توالیهای ITS و همچنین پنج منطقه غیررمرز کننده DNA *trnQ-rps16* intron *rps16-trnK* کلروپلاست (شامل *psbA-trnH* و *rpl32-trnL* *rps16*) مورد مطالعه قرار دادند. نتایج حاصل نشان داد که سرده *Heracleum* چندینیاست و تعدادی از اعضایش وابسته به سرده‌های دیگر زیرقیبله *Tordyliinae* می‌باشد (۲۶).

گونه‌های *Heracleum* ایران در فلور ایرانیکا که مرجع اصلی شناسایی و طبقه‌بندی این گونه‌ها می‌باشد بر اساس خصوصیات ریختی مانند ارتفاع، شکل میوه، شکل برگ، ضخامت ساقه و رنگ بساک به سه بخش (Division) *H. persicum* (شامل گونه‌های *Pubescensia*، *Villosa*، *H. gorganicum* و *H. rechingeri*) (شامل گونه‌های *Wendia* و *H. antasiaticum*، *H. pastinacifolium*، *H. rawianum* و *H. anisactis* و *H. transcaucasicum*) است (۲۰). در بررسی ترکیبات اصلی متابولیتهای ثانویه اسانس میوه شش گونه گلپر (*H. persicum*) *H. rawianum* *H. rechingeri* *H. gorganicum* *H. anisactis* و *H. pastinacifolium* شده است، گونه‌های *H. persicum* و *H. gorganicum* با محتویات بالای اکتیل استات و هگزیل *H. rechingeri*

تعداد زیادی از گونه‌های این سرده گزارش شده است (۲). برای مثال از گونه *H. persicum* (گلپر ایرانی)، در ایران علاوه بر استفاده درمانی، به صورت ادویه، برای عطر و طعم‌دادن به غذاها و همچنین تعییف دامها استفاده می‌شود (۵ و ۹).

تا به حال طبقه‌بندیهای آرایه‌شناسی متفاوتی بر اساس خصوصیات ریخت‌شناسی برای گونه‌های این سرده انجام شده است، به طور مثال گونه‌های منطقه شمال‌غرب آسیا و مدیترانه شرقی در مقیاس وسیع (۲۷ گونه) برای اولین بار توسط Boissier تنها در دو بخش با بخش تک‌گونه‌ای *Heracleum (Euheracleum)* و بخشه *Pseudotragium* با ۲۶ گونه تقسیم‌بندی شد (۷). Boissier بخشه *Euheracleum* را بر اساس برش برگ، حضور برگ‌ها (Bracteoles) و برگ‌ک (Bracts) (Mericarp vittae) در نظر گرفت. حاوی اسانس *Heracleum Mandenova* گونه‌های *Heracleum* را عمدتاً بر اساس وجود و ریخت‌شناسی لوله حاوی اسانس به بخش‌های *Pubescensia*، *Villosa* Manden. *Heracleum L.* *Wendia* (Hoffm.) *Apiifolia* Manden. Manden. *Lasiopetala* *Vocontia* (Calest.) Thell. Manden. *Pseudotragium* Boiss و Manden. شواهد سیستماتیک قابل توجهی برای گونه‌های *Heracleum* به خصوص در زمینه کاریولوژی (به طور عمده تعداد کروموزومها)، فیتوشیمی (۱۲ و ۲۳)، مورفو‌لولوژی دانه‌گرده (۱۳) و آناتومی (۱۴ و ۱۵) به دست آمده است. ناپایداری درون گونه‌ای تعداد کروموزومها در تعدادی از گونه‌های این سرده، باعث شده است که تعداد کروموزومها ارزش طبقه‌بندی گیاه‌شناسی (Taxonomic) کمی داشته باشد. علی‌رغم اینکه دورگه‌گیری (هیبریداسیون) در تیره چتریان نادر می‌باشد، ولی این پدیده در این سرده گزارش شده است (۲۶).

نشانگرهای مولکولی مبتنی بر توالیهای نوکلئوتیدی کوتاه

نظر می‌رسد. برای پاسخ به این سوال، روابط تبارزایی گونه‌های گلپر ایران با لحاظ نمودن چندین جمعیت از هر گونه با استفاده از هسته‌ای نشانگرهای هسته‌ای ITS و همچنین کلروپلاستی *rpl32-trn1* در این پژوهش مورد مطالعه قرار گرفته است.

### مواد و روشها

مواد گیاهی: نمونه‌های ۱۹ جمعیت از سرده گلپر جمع‌آوری شده از نواحی مختلف ایران و نروز مورد بررسی مولکولی قرار گرفت که مشخصات جغرافیایی مربوط به آنها در جدول یک ذکر شده است. با توجه به اینکه در خصوص منشا گونه‌های اروپایی گلپر به ویژه گونه *H. persicum* و گونه *H. mantegazzianum* که گونه‌های مهاجم در کشور نروز بوده و در شباهت آن به گونه متداول ایران اختلاف نظرهایی وجود دارد، تعدادی از گونه‌های متداول در مناطق شمالی نروز نیز مورد بررسی قرار گرفتند. برای ایجاد درخت تبارزایی ریشه‌دار از گونه *Heracleum lasiopetalum* به عنوان برونگروه استفاده *Tetrataenium* که در برخی منابع، آن را در سرده *Tetrataenium* قرار می‌دهند.

بوتیرات از دیگر گونه‌های *H. rawianum*, *H. pastinacifolium* و *H. anisactis* با محتویات هگزیل بوتیرات پایین‌تر و محتویات اکتیل استات بالاتر متمایز شده‌اند (۱۸). تفاوت در ترکیب اسانس در میان شش گونه نشان داد که ترکیبات اسانس به خوبی طبقه‌بندی گیاه‌شناسی بخش‌های گلپر را بر پایه داده‌های مورفولوژیک تأیید می‌کنند. بررسی تنوع فیتوشیمیایی جمعیت‌های مختلف *H. persicum* و همچنین سایر گونه‌های این همتافت (Species Complex) نیز نشان داده است که تنوع زیادی بین جمعیت‌ها وجود دارد؛ به طوری که شناسایی برخی گونه‌های اندمیک ایران از جمله گونه‌های ساقه ضخیم *H. rechingeri* و *H. gorganicum*, *H. persicum* همچنین گونه‌های ساقه نازک شامل *H. pastinacifolium* و *H. anisactis* به علت شباهت زیاد ترکیبات شیمیایی اسانس میوه قابل تفکیک از سایر گونه‌ها نمی‌باشد (۱۲).

با توجه به تنوع قابل ملاحظه ریختی در بین جمعیت‌های وحشی و مشکل شناسایی گونه‌های گزارش شده بر اساس منابع گیاه‌شناسی موجود برای تأیید کارایی طبقه‌بندی گیاه‌شناسی گونه‌های *Heracleum* ایران بر اساس داده‌های ریخت‌شناسی، انجام بررسیهایی بر روی تنوع ژنتیک درون و بین گونه‌ها و مطالعات تبارزایی در این سرده ضروری به

جدول ۱- اطلاعات جغرافیایی جمعیت‌های گونه‌های مختلف *Heracleum* مطالعه شده در این تحقیق

			گونه‌ها	محل جمع‌آوری	استان	عرض جغرافیایی	طول جغرافیایی	ارتفاع از سطح دریا	علامت اختصاری
Aza	2122	46°58'50.65"E	38°50'12.87"N	آذربایجان شرقی	کلیبر-قلعه بایک	<i>H. transcaucasicum</i> *			
Shi	1180	55°5'31.47"E	36°50'25.43"N	گلستان	شیرین‌آباد	<i>H. gorganicum</i>			
Asa	2210	48°40'13.53"E	37°34'15.59"N	اردبیل	گردنه اسلام-خلخال	<i>H. pastinacifolium</i>			
Nir	1820	47°53'57.66"E	37°59'3.27"N	اردبیل	نیر	<i>H. pastinacifolium</i>			
Ala	2850	51°. 22.22"E	36°25'8.32"N	مازندران	علم کوه	<i>H. pastinacifolium</i> **			
Mar	1752	46°18'16.05"E	37°30'15.59"N	آذربایجان شرقی	مراغه	<i>H. persicum</i> *			
Nor	40	10°24'33.53"E	63°25'41.77"N	نروز	ترونده‌ایم	<i>H. persicum</i>			
Anb	1711	48°27'44.83"E	38°31'27.68"N	اردبیل	عنبران	<i>H. persicum</i>			
Gar	1575	48°34'18.81"E	38°24'57.37"	اردبیل	غندوقلو	<i>H. rechingeri</i>			

		E	N				
Asa	1155	48°49'7.42"	37°39'20.28"	گیلان	جاده اسلام-خلخال	<i>H. rechingeri</i>	
		E	N				
Kan	2350	46°15'45.40	37°47'03.89"	آذربایجان‌شرقی	کندوان	<i>H. anisactis*</i>	
		"E	N				
Lig	2051	46°28'02.37	37°47'43.79"	آذربایجان‌شرقی	لیقوان	<i>H. anisactis*</i>	
		"E	N				
Dam	3210	52°6'46.33"	35°54'3.92"N	تهران	دمواند	<i>H. anisactis</i>	
		E					
Har	2462	51°22'47.76	36°13'15.62"	مازندران	پل زنگوله به سمت جاده هراز از	<i>H. antasiaticum</i>	
		"E	N				
Nor	10	10°23'26.67"	63°24'42.83"	نروز	تروندهایم	<i>H.</i>	
		E	N			<i>mantegazzianum</i>	
Nor	48	10°24'36.43"	63°25'42.98"	نروز	تروندهایم	<i>H. sphondylium</i>	
		E	N				
-	48	10°24'36.43"	63°25'42.98"	نروز	تروندهایم	<i>H. Hybrid<sub>1</sub></i>	
		E	N				
-	48	10°24'36.43"	63°25'42.98"	نروز	تروندهایم	<i>H. Hybrid<sub>2</sub></i>	
		E	N				
Koh	2750	50°2'57.78"	32°27'4.68"N	چهارمحال و بخشیاری	کوهنگ	<i>H. lasiopetalum</i>	

نمونه‌های \* و \*\* به ترتیب توسط آقای مهدی دائمی سعید آباد و آقای امیر طالبی در دسترس قرار گرفته شده است.

چرخه‌های حرارتی برای واکنش زنجیره پلیمراز برای توالی ITS شامل یک چرخه واسرشت‌سازی اولیه: در دمای ۹۵ درجه به مدت ۵ دقیقه، ۳۵ چرخه شامل واسرشت‌سازی در دمای ۹۵ درجه سانتی‌گراد به مدت ۳۰ ثانیه، اتصال آغازگر در دمای ۵۴ درجه سانتی‌گراد به مدت ۴۵ ثانیه، و به مدت ۴۵ ثانیه در ۷۲ درجه سانتی‌گراد و بسط نهایی به مدت ۷ دقیقه در ۷۲ درجه سانتی‌گراد بود. برای قطعه *trnL-rpl32* از دمای اتصال ۵۰ درجه سانتی‌گراد استفاده گردید. برای تأیید تکثیر قطعات، الکتروفورز محصولات PCR بر روی ژل آگارز یک درصد انجام شد. محصولات PCR تک باندی قوی و بدون کشیدگی توسط شرکت ماکروژن Macrogen (کره جنوبی) با استفاده از آغازگر ITS-p5 برای قطعه ITS و آغازگر *rpl32* برای قطعه *trnL-rpl32* در جهت پیشرو توالی‌یابی شدند. همدیفی چندگانه توسط نرم‌افزار آنلاین Clustal Omega انجام شد و نتایج همدیفی بصورت چشمی نیز مورد بررسی قرار گرفت. برای ترسیم درخت تبارزایی، ماتریس داده‌های همدیف شده مورد استفاده قرار گرفت. توالی نوکلئوتیدی ITS

تجزیه و تحلیل مولکولی: نمونه‌های برگ خشک شده، توسط دستگاه Mixer mill مدل Retsch MM 200 شرکت Qiagen پودر شدند. استخراج DNA از برگ با استفاده از (Sp Plant DNA گیاهی DNA Kit) شرکت Bio-Tek Omega صورت گرفت. واکنش مخصوص استخراج ITS (ITS-p5 و ITS-3') به جلو (CCTTATCAYTTAGAGGAAGGAG-3') و رو به (CCGCTTAKTGTATATGCTTAAA) ITS-p4 عقب (ITS-p4 و ITS-3') از *trnL-rpl32* از آغازگرهای رو به جلو (-CAGTTCCAAAAAACGTACTTC-3') *rpl32* (5' و ۳' عقب ITS-p5 و ITS-3') با (5'CTGCTTCTTAAGAGCAGCGT-3') استفاده از دستگاه Applied GeneAmp 9700 شرکت Biosystems انجام شد. با توجه به مطالعات قبلی به خصوص مطالعه تبارزایی گلپرها چین با استفاده از نشانگر ITS و ۵ نشانگر کلروپلاستی و تنوع نسبتاً بالای نشانگرهای ITS و *trnL-rpl32* در بین نشانگرهای مورد بررسی، از این دو قطعه در این مطالعه استفاده گردید (۲۶).

نوكليوتيد بود (جدول ۲)، که تعداد جايگاههای نوكليوتيدی متغير (Number of variable sites) در توالی ITS و *trnl-rpl32* به ترتیب ۴۲ (شکل ۱) و ۱۱۲ بودند. تعداد مكانهای اطلاع‌رسان صرفه‌جویی (parsimony informative positions) از بین جايگاههای نوكليوتيدی متغير، در توالی ITS و توالی *trnl-rpl32* به ترتیب ۲۸ و ۱۴ بود. تعداد جايگاههای يگانه یا دارای تفاوت مشاهده شده در تنها يك نمونه در توالی ITS و *trnl-rpl32* به ترتیب ۱۴ و ۹۸ متغير بود.

تجزیه و تحلیل تبارزایشی: در زمانی که درخت تبارزایشی توالی ITS برای ۱۹ جمعیت از نه گونه سرده *Heracleum* با روش استنباط بیزی ترسیم شد، گونه‌های *H. anisactis* *H. transcaucasicum* در یک گروه قرار گرفتند (شکل ۲). گونه‌های *H. mantegazzianum* *H. persicum* و *H. rechingeri* نیز در یک گروه جدا قرار گرفتند، گونه *H. gorganicum* از شیرین‌آباد با حمایت شاخه‌ای (Branch support) بالا در بیرون از این گروه قرار گرفت. گونه *H. sphondylium* و *Hybrid1* و *Hybrid2* در یک گروه قرار گرفتند به طوری که گونه *H. antasiaticum* در گروه خواهری این گونه و هیبریدهای احتمالی آنها قرار گرفت (شکل ۲).

شامل ۵.۸s ITS و توالی *trnl-rpl32* ۱۹ جمعیت از نه گونه سرده *Heracleum* و ترکیب توالی ITS و *Heracleum rpl32-trnl* ۱۹ جمعیت از نه گونه از سرده *Heracleum* برای آنالیز تبارزایشی استفاده شد. برای رسم درخت تبارزایشی از روش آنالیز بیزی با نرم‌افزار MRBAYES استفاده شد (۱۶). برای تأیید همگرایی نتایج پارامترهای آنالیز بیزی از برنامه Tracer v1.6 (۱۹) و برای تعیین نوع مدل جانشینی نوكليوتيدی مناسب برای داده‌ها از نرم‌افزار jModeltest 2.1.9 استفاده شد (۱۱). بهترین مدل جانشینی برای توالی ITS و توالی *trnl-rpl32* مربوط به ۱۹ جمعیت از سرده *Heracleum* به ترتیب مدل‌های SYM + I و TPM3uf + G بودند. برای ترسیم درخت تبارزایشی از نرم‌افزار FigTree استفاده گردید. برای تعیین انواع هاپلوتایپ به عنوان یکی از آمارهای توصیف کننده تنوع ژنتیک از نرم‌افزار DnaSp 5.0 استفاده گردید (۲۲) آنالیز شبکه‌ای هاپلوتایپ‌ها بر اساس روش اتصال میانه MJ Network 4.6 (Median-Joining) به وسیله نرم‌افزار Median-Joining گردید (۶).

## نتایج

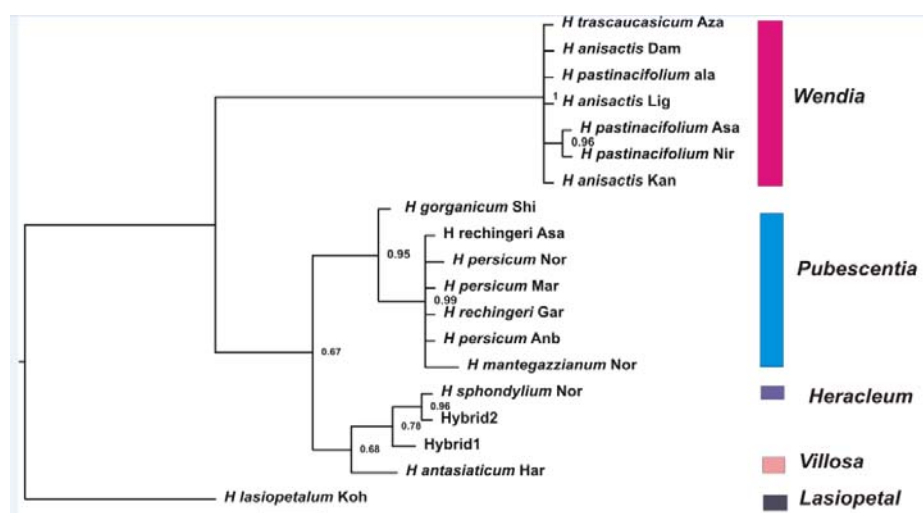
تنوع نوكليوتيدی در قطعات ITS و *trnl-rpl32* طول توالیها بعد از همردیفی چندگانه برای ۱۹ جمعیت از گونه‌های سرده *Heracleum* برای هر دو قطعه مورد استفاده ITS و *trnl-rpl32* به ترتیب برابر ۶۱۰ و ۹۸۱

جدول ۲- تنوع نوكليوتيدی در توالی نوكليوتيدی ITS و *trnl-rpl32-trnl* و توالی ادغام شده آنها در گونه‌های *Heracleum*

تعداد نمونه	طول توالی همردیف شده	تعداد جايگاههای اطلاع‌رسان صرفه‌جویی	تعداد جايگاههای متغير	تعداد جايگاههای محافظت شده (of conserved sites)	تعداد جايگاههای دارای تک نوكليوتيد متفاوت (Number of singleton)
۱۹	۶۱۰	۲۸	۴۲	۵۶۸	۱۴
۱۵۹۱	۹۸۱	۱۴	۱۱۲	۸۴۳	۹۸
۴۲	۱۱۲	۱۱۲	۱۱۲	۱۱۲	۱۱۲
۱۵۴	۱۱۲	۱۱۲	۱۱۲	۱۱۲	۱۱۲
۱۴۱۱	۸۴۳	۸۴۳	۸۴۳	۸۴۳	۸۴۳

Taxon \ Character	2	3	4	5	6	7	8	9	10	11	12	13	14	15	16	17	18	19	20	21	22	23	24	25	26	27	28	29	30	31	32	33	34	35	36	37	38	39	40	41	42				
1 H_transcaucas_Kal	C	T	G	T	G	A	C	T	G	G	C	T	G	C	C	C	G	A	C	C	G	G	C	C	T	G	T	C	C	G	C	G	T	T	A	C	C	T							
2 H_anisactis_Dama	C	T	G	T	G	A	C	T	G	G	C	T	G	C	C	C	G	A	C	C	G	G	C	C	C	T	G	T	C	C	G	C	G	T	T	A	C	C	T						
3 H_anisactis_Ligh	C	T	G	T	G	A	C	T	G	G	C	T	G	C	C	C	G	A	C	C	G	G	C	C	C	T	G	T	C	C	G	C	G	T	T	A	C	C	T						
4 H_anisactis_Kan	C	T	G	T	G	A	C	T	G	G	C	T	G	C	C	C	G	A	C	C	G	G	C	C	C	T	G	T	C	C	G	C	G	T	T	A	C	C	T						
5 H_pastin_alam	C	T	G	T	G	A	C	T	G	G	C	T	G	C	C	C	G	A	C	C	G	G	C	C	C	T	G	T	C	C	G	C	G	T	T	A	C	C	T						
6 H_pastin_Nir	C	T	G	T	G	A	C	T	G	G	C	T	G	C	C	C	G	A	C	C	G	G	C	C	C	T	G	T	C	C	G	C	G	A	T	A	C	C	T						
7 H_pastin_Asalem	C	T	G	T	G	A	C	T	G	G	C	T	G	C	C	C	G	A	C	C	G	G	C	C	C	T	G	T	C	C	G	C	G	A	T	A	C	C	T						
8 H_antasiat_Har	C	T	T	C	G	A	C	G	G	G	T	C	G	C	C	C	G	C	T	T	G	T	T	C	C	G	T	T	T	T	C	A	T	C	A	C	C	C	C						
9 H_gorganicum_Shiri	C	T	G	C	G	A	T	G	G	G	T	C	G	C	C	G	T	T	C	A	C	T	T	G	T	C	C	G	T	T	T	G	C	A	T	C	G	O	C	C	C				
10 H_mantegaz	T	T	G	C	G	T	T	G	G	G	T	C	T	C	C	G	T	T	C	C	A	C	T	T	G	T	T	C	C	G	T	T	T	G	C	A	T	T	G	O	C	C	C		
11 H_rechin_Asal	T	T	G	C	G	T	T	G	G	G	T	C	G	C	C	G	T	T	C	C	A	C	T	T	G	T	T	C	C	G	T	T	T	G	C	A	T	T	G	O	C	C	C		
12 H_rechin_Garda	T	T	G	C	G	T	T	G	G	G	T	C	G	C	C	G	T	T	C	C	A	C	T	T	G	T	T	C	C	G	T	T	T	G	C	A	T	T	G	O	C	C	C		
13 H_persic_Maragh	T	T	G	C	G	T	T	G	G	G	T	C	G	C	C	G	T	T	C	C	A	C	T	T	G	T	T	C	C	G	T	T	T	G	C	A	T	T	G	O	C	C	C		
14 H_persic_Anba	T	T	G	C	G	T	T	G	G	G	T	C	G	C	C	G	T	T	C	C	A	C	T	T	G	T	T	C	C	G	T	T	T	G	C	A	T	T	G	O	C	C	C		
15 H_persic_Nor	T	T	G	C	G	T	T	G	A	G	T	C	G	C	C	G	T	T	C	C	A	C	T	T	G	T	T	C	C	G	T	T	T	G	C	A	T	T	G	O	C	C	C		
16 H_sphondylium_Nor	C	T	T	C	A	A	C	G	G	G	T	C	G	C	C	C	A	C	A	G	C	T	T	A	T	C	C	C	A	T	T	T	G	C	-	-	-	-	-	-	-	-	-	-	-
17 Hybrid1	C	T	T	C	A	A	C	G	G	G	T	C	G	C	C	C	A	C	C	A	C	T	T	A	T	C	C	C	A	T	T	T	G	C	A	T	C	G	O	C	C	C			
18 Hybrid2	C	T	T	C	A	A	C	G	G	G	T	C	G	C	C	C	A	C	G	C	T	T	A	T	C	C	C	A	T	T	T	G	C	A	T	C	A	C	C	C					
19 H_lasiopetal_Koh	C	G	G	C	G	A	C	G	G	T	T	A	A	T	C	G	C	A	T	G	C	T	T	G	C	T	G	T	T	A	C	T	A	T	T	T	C								

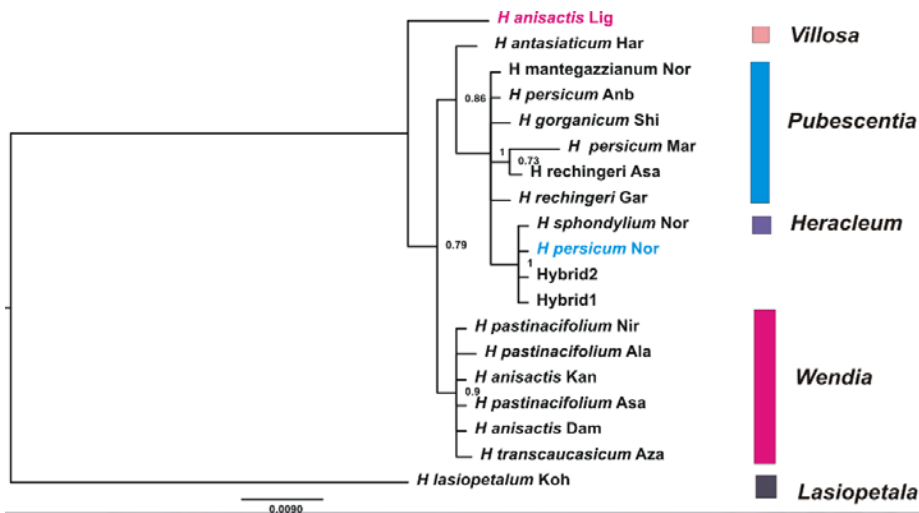
شکل ۱- تنوع نوکلئوتیدی در قطعه ITS در گونه‌های مورد بررسی Heracleum. جایگاه‌های شماره ۱ تا ۱۵، ۱۸ تا ۲۱ و ۲۴ تا ۴۲ به ترتیب نشان‌دهنده منطقه ITS1 ۵.۸s و ITS2 ۵.۸s می‌باشد.



شکل ۲- درخت تبارزایی حاصل از روش استنباط بیزی ۱۹ جمعیت از نه گونه از سرده Heracleum بر اساس توالی نوکلئوتیدی ITS اعداد روی شاخه‌ها حمایت شاخه‌ای براساس احتمال پسین (Posterior probability) می‌باشد.

درخت تبارزایی ترسیم شده با روش استنباط بیزی به دست آمده از قطعه ITS1-rpl32 در ۱۹ جمعیت از نه گونه سرده Heracleum نشان می‌دهد که گونه‌های H. transcaucasicum Aza, H. anisactis Dam, H. pastinacifolium ala, H. anisactis Lig, H. pastinacifolium Asa, H. pastinacifolium Nir, H. anisactis Kan, H. gorganicum Shi, H. rechingeri Asa, H. persicum Nor, H. persicum Mar, H. rechingeri Gar, H. persicum Anb, H. mantegazzianum Nor, H. sphondylium Nor, Hybrid2, Hybrid1, H. antasiaticum Har و H. lasiopetalum Koh نروژ در یک شاخه جدا از H. persicum و H. sphondylium قرار گرفتند. این روش نتوانست جمعیتهای گونه‌های H. anisactis, H. pastinacifolium و H. transcaucasicum را از یکدیگر جدا کند ولی گونه H. anisactis H. pastinacifolium را از H. transcaucasicum لیقوان را در یک گروه جداگانه قرار داد (شکل ۳).

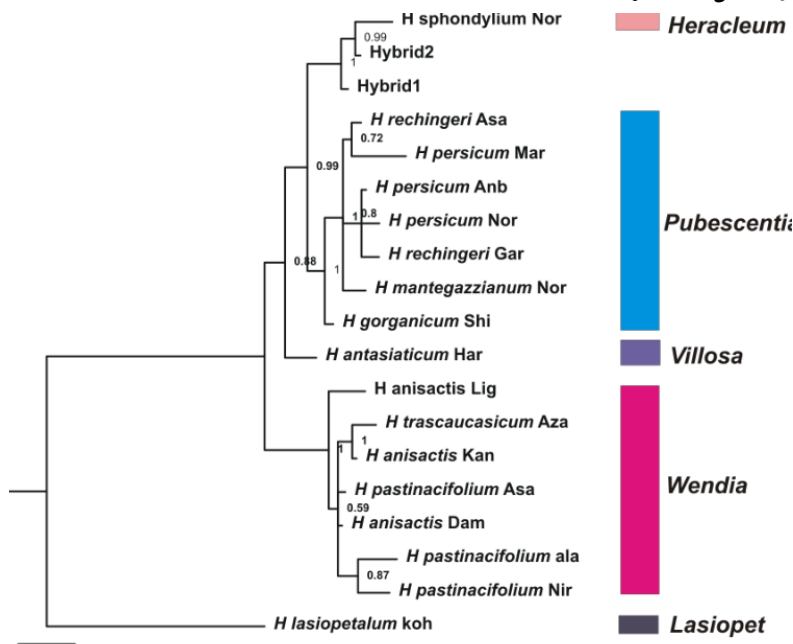
درخت تبارزایی ترسیم شده با روش استنباط بیزی به دست آمده از قطعه ITS1-rpl32 در ۱۹ جمعیت از نه گونه سرده Heracleum نشان می‌دهد که گونه‌های H. rechingeri, H. mantegazzianum, H. persicum, H. sphondylium, Hybrid2, Hybrid1, H. gorganicum و H. persicum نروژ در یک گروه قرار دارند، که در بین Hybrid2, Hybrid1 گونه‌های این گونه‌ها، گونه‌های



شکل ۳- درخت تبارزایشی حاصل از قطعه *trnL-rpl32* بر اساس ۱۹ جمعیت از نه گونه *Heracleum* با روش استنباط بیزی. اعداد روی شاخه‌ها حمایت شاخه‌ای براساس احتمال پسین می‌باشد.

ولی همانند تحلیلهای قطعات انفرادی، ادغام قطعات نیز نتوانست جمعیتهای مختلف مربوط به گونه مختلف داخل بخش‌ها را تفکیک کند (شکل ۴).

درخت تبارزایشی حاصل از ادغام توالیهای ITS و *trnL-rpl32* نشان داد که گونه‌های بخش Wendia شامل *H. transcaucasicum* و *H. pastinacifolium* به طور کامل از سایر بخش‌ها جدا شدند.

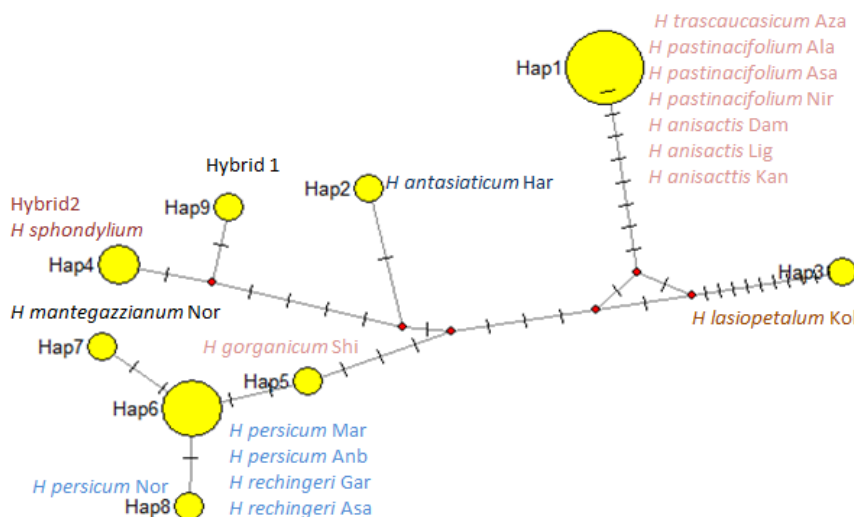


شکل ۴- درخت تبارزایی حاصل از ترکیب توالی *rpl32-trnL* ۱۹ جمعیت از نه گونه از سرده *Heracleum* به روش استنباط بیزی. اعداد روی شاخه‌ها حمایت شاخه‌ای براساس احتمال پسین می‌باشد.

به منظور تأیید نتایج حاصل از ترسیم درخت تبارزایشی، دو توالی ترسیم شد (شکل ۵). در نمودار شبکه، قطر بزرگتر و کوچکتر دایره‌ها به ترتیب نشان‌دهنده فراوانی بالا آنالیز شبکه بر اساس هاپلوتیپ‌های شناسایی شده در هر

در گروههای مجزا قرار گرفتند. گونه *H. organicum* Shi با هاپلوتیپ شماره پنج با دو جهش و گونه *H. persicum* Nor با هاپلوتیپ شماره هشت با یک جهش از گونه‌های اصلی بخش Pubescentia که هاپلوتیپ شش را شامل *Wendia* می‌شوند فاصله گرفته است. گونه‌های بخش *Wendia* همگی در هاپلو گروه یک قرار گرفتند. گونه Hybrid1 در هاپلوتیپ شماره نه توسط یک هاپلوتیپ مفقود شده از هاپلوتیپ شماره چهار که شامل *H. sphondylium* و Hybrid2 جدا شده است (شکل ۵). قابل ذکر است که نمونه‌های Hybrid1 و Hybrid2 از نظر فنوتیپی شباهت زیادی به گونه *H. sphondylium* دارند.

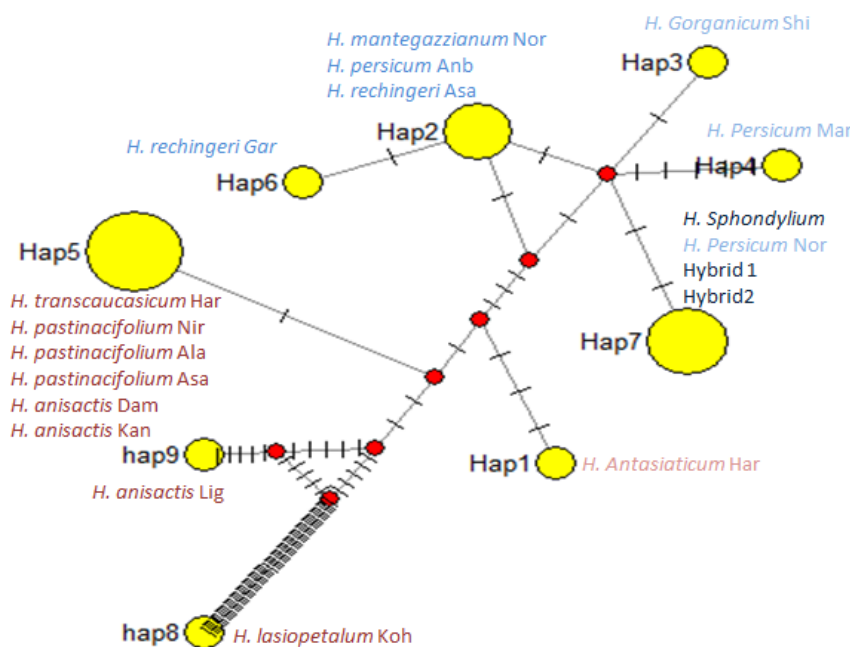
و پایین هاپلوتیپ را نشان می‌دهند. در کل نه هاپلوتیپ در نمونه‌های توالی یابی شده در این تحقیق مشخص شد. روابط هاپلوتیپی بر اساس ساختار شبکه در توالی ITS نشان داد که دو گروه هاپلو عمده شامل گونه‌های *H. Aza*، *H. pastinacifolium* Nir *transcaucasicum*، *H. pastinacifolium* Asa *H. pastinacifolium* Ala *H. anisactis* و *H. anisactis* Kan *H. anisactis* Lig، *H. persicum* Mar *Dam* *H. rechingeri* و *H. rechingeri* Gar *H. persicum* Anb بوده و گونه‌های *H. sphondylium* و *H. sphondylium* Asa در Hybrid2 بوده و گونه‌های *H. sphondylium* و *H. sphondylium* Asa یک هاپلو گروه کوچکتر و بقیه گونه‌ها به صورت انفرادی



شکل ۵- آنالیز شبکه‌ای بر اساس تنوع هاپلوتیپی در توالی ITS. گونه‌های دارای هاپلوتیپ مشابه در کنار آن نوشته شده است. اندازه هر دایره نشان‌دهنده تعداد نمونه‌های متعلق به آن هاپلوتیپ است و هر خط تیره بین هاپلوتیپ‌ها نشان‌دهنده یک واحد جهش می‌باشد. نقاط قرمز بر روی شبکه هاپلوتیپ‌های مفقود شده را نشان می‌دهد.

روابط هاپلوتیپی بر اساس ساختار شبکه در توالی *trnL*-*rpl32* نشان داد که سه هاپلو گروه عمده که یکی شامل گونه‌های *H. transcaucasicum* Aza، *H. pastinacifolium* Asa *H. pastinacifolium* Ala، *H. anisactis* Dam *H. pastinacifolium* Nir، *H. anisactis* Kan هاپلو گروه شامل گونه‌های *H. anisactis* و *Hybrid1* *H. persicum* Nor *H. sphondylium* و *Hybrid2* هاپلو گروه دیگر شامل گونه‌های

*H. persicum* Anb *H. mantegazzianum* و *H. rechingeri* Asa است. بقیه گونه‌ها به صورت انفرادی در هاپلو گروههای مجزا قرار گرفتند. اعضای بخش Pubescentia به غیر از گونه *Wendia* در یک هاپلوتیپ قرار گرفتند. گونه‌های *H. persicum* Mar با یک هاپلویید مفقود شده از بخش Pubescentia در هاپلوتیپ شماره دو فاصله گرفته اند (شکل ۶).



شکل ۶- آنالیز شبکه‌ای هاپلوتیپ‌های موجود در توالی *trnL-rpl32* برای جزئیات بیشتر به شکل شماره ۵ مراجعه شود.

*H. transcaucasicum* و *H. pastinacifolium* *H. anisactis* به طور کامل از سایر بخش‌ها جدا شدند. مطالعات دیگر انجام گرفته بر روی گونه‌های ایرانی سرده *Heracleum* با استفاده از داده‌های حاصل از آنالیز اسنس میوه نتایج مشابهی را حاصل کرده است (۱۲ و ۱۸). علاوه بر این داده‌های حاصل از نشانگرهای ریزماهواره معرفی شده با استفاده از روش توالی یابی نسل جدیدی شده، تنها قادر به شناسایی گونه‌های در سطح بخش RADseq بود (۱۰). نتایج این تحقیق توانست طبقه‌بندی سرده را بر اساس داده‌های مورفولوژیک در سطح بخش تأیید کند ولی جدای کردن برخی از گونه‌های مشابه در همتافتهای گونه‌ای با این داده‌ها میسر نشد.

توفیلوزی درخت حاصل از دو توالی ITS و *rpl32-trnL* در جدا کردن بخش‌های اصلی نسبتاً مشابه بود و ترکیب دو توالی توانست بخش‌های مختلف را از یکدیگر جدا کند و نتیجه بهتری را ارائه داد. با این تفاوت که با توجه به تنوع پایین داده‌های *rpl32-trnL* پایی تومی نسبتاً زیادی در داخل بخش‌ها در درخت تبارزایی حاصل نسبت به درخت حاصل از داده‌های ITS مشاهده شد. Yu و همکاران

## بحث

نتایج بررسی توالیهای نوکلئوتیدی نشان می‌دهد که تعداد ۴/۶ جایگاه‌های اطلاع‌رسان صرف‌جویی در توالی ITS درصد (۱/۴ درصد) بیشتر از توالی *rpl32-trnL* است که نشان‌دهند تنوع اطلاع‌رسان بیشتر در توالی ITS نسبت به *rpl32-trnL* است. در مقایسه توالی ITS و توالی *rpl32-trnL* توالی اولی گونه‌های مربوط به بخش‌ها را در گروه جدا قرار داد ولی جمعیت‌های مختلف داخل گونه‌ها را نتوانست جدا کند، اما توالی کلروپلاستی در جدا کردن بخش‌ها به خوبی عمل نکرده است. توالی ITS که با سرعت بیشتر تکامل پیدا می‌کند، که این موضوع با درصد بیشتر مکانهای دارای اطلاعات اثبات می‌شود. در تحقیق حیدری و همکاران (۱۳۹۳) توالی ITS توانست زیرگونه‌های گیاه بادرنجبویه و ژنوتیپهای درون یک جمعیت را به خوبی تفکیک کند و این نشانگر را برای این هدف بسیار کارآمد معرفی کرد (۱).

درخت تبارزایی حاصل از ادغام توالیهای ITS و *rpl32-trnL* نشان داد که گونه‌های بخش *Wendia* شامل

که این نتایج تا حدود زیادی نتایج قبلی حاصل از داده‌های مورفولوژیک را تأیید نمود، اما در آنها تفکیک کامل جمعیتهای مختلف داخل هر همتافت گونه‌ای صورت نگرفت به جز مواردی از قبیل گونه *H. gorganicum* و *H. anisactis* Lig. دیده نمی‌شود و این شباهت بسیار زیاد این گونه‌ها از لحاظ مورفولوژیکی و همچنین عدم توانایی زنایهای مورد مطالعه در تعکیک کامل این گونه‌ها می‌تواند نشان‌دهنده این موضوع باشد که بعضی از گونه‌ها در اصل یک گونه هستند و به خاطر شرایط اکولوژیک از لحاظ مورفولوژیکی تغییر پیدا کرده‌اند و در عرصه جغرافیایی وسیع تنوع قابل ملاحظه‌ای نشان می‌دهند که نیاز به بررسیهای بیشتر آرایه‌شناسی برای ارائه کلیدهای شناسایی *H. anisactis* و جدید و تأیید نهایی گونه‌های همتافت *H. pastinacifolium* و *H. persicum* و *H. rechingeri* است. علاوه بر این با توجه به رویش برخی از گونه‌ها در رویشگاه‌های مشترک مثلاً گونه‌های *H. sphondylium* و *H. persicum* در نروز و همچنین گونه‌های *H. antaciaticum* و *H. persicum* در مناطقی از ایران احتمال وجود دورگه‌سازی طبیعی بین گونه‌ای وجود خواهد داشت که نیاز به مطالعات بیشتر ریختی و مولکولی برای تأیید و یا رد این پدیده خواهد بود.

### تشکر و قدردانی

از بنیاد علم ایران (صندوق حمایت از پژوهشگران و فناوران کشور) به خاطر حمایت از انجام بخشی از پژوهش (با شماره طرح ۹۲۰۳۸۳۸) تشکر می‌گردد.

(۲۰۱۱) نیز همین نتیجه را از ترکیب توالی ITS و پنج منطقه غیرریز کننده DNA کلروپلاست برای گونه‌های *Heracleum* از چین گزارش کردند (۲۶). این درخت تبارزایشی توانست گونه‌های مربوط به بخش‌های مختلف را از هم جدا کند ولی نتوانست با توجه به متفاوت بودن در طول شاخه افراد که نشان‌دهنده متفاوت بودن آنهاست، به صورت کامل گونه‌های داخل بخش (بر اساس طبقه‌بندی فلور ایرانیکا و ماندنوا) را از یکدیگر جدا کند. متفاوت توپولوژی بین ژنوم هسته‌ای و ژنوم پلاستیدی مختلف توسط یوسفزاده و همکاران (۲۰۱۹) هم گزارش شده است (۲۵). که *Yu* و همکاران (۲۰۱۱) چنین تضادی بین تبارزایی به دست آمده از توالیهای هسته‌ای و پلاستیدی را در تیره کرفسیان را غیرمعمول شمرده‌اند و عواملی مانند هیبریداسیون و یا جورشدن ناقص تبارها را از علل احتمالی آن بر شمردند (۲۶) و با توجه به وجود هیبریداسیون طبیعی بین گونه‌های خواهی نقش هیبرید بین گونه‌ای را در این زمینه پررنگ‌تر دانستند (۲۶). علاوه بر این وجود دورگه سازی طبیعی در بین گونه‌های گلپر اروپایی نیز در مطالعات مولکولی پیشنهاد شده است (۲۱). نتایج حاصل از آنالیز شبکه بر اساس هاپلوتیپ‌ها نیز توپولوژی درخت تبارزایشی حاصل از قطعه ITS را تأیید نمود.

### نتیجه‌گیری کلی

در پژوهش حاضر با استفاده از داده‌های توالیهای نوکلئوتیدی جمعیتهای مختلف گونه‌های همتافت *H. pastinacifolium* و *H. persicum* بخش‌ها به صورت کاملاً مشخص از یکدیگر جدا شدند،

### منابع

- حیدری، پ، مهرابی، ع و نصرالله نژاد قمی، ع. (۱۳۹۳). بررسی اثر عصاره هیدرولیکی برگ گیاه گلپر روی تنشی ناشی از تزریق پتیلن ترازوول بر روی موش سوری. مجله علمی پژوهشی دانشگاه علوم پزشکی زنجان، ۲۱، ۴۵-۵۵.

۴- مظفریان، و. (۱۳۹۱). شناخت گیاهان دارویی و معطر ایران، انتشارات فرهنگ معاصر، ۱۱۹۵-۱۱۹۲ ص.

- 5- Asgarpanah, J., Mehrabani, G. D., Ahmadi, M., Ranjbar, R., & Ardebily, M. S. A. (2012). Chemistry, pharmacology and medicinal properties of *Heracleum persicum* Desf. Ex Fischer: A review. *Journal of Medicinal Plants Research*, 6(10), 1813-1820.
- 6- Bandelt, H. J., Forster, P., & Röhl, A. (1999). Median-joining networks for inferring intraspecific phylogenies. *Molecular Biology and Evolution*, 16(1), 37-48.
- 7- Boissier, E. (1872). Umbelliferae. In: *Flora orientalis*. 2. Basel, Geneve, pp 819-109.
- 8- Cheng, T., Xu, C., Lei, L., Li, C., Zhang, Y., & Zhou, S. (2016). Barcoding the kingdom Plantae: new PCR primers for ITS regions of plants with improved universality and specificity. *Molecular Ecology Resources*, 16(1), 138-149.
- 9- Dadjo, Y., Panahi, Y., Pishgoo, B., Sahebkar, A., Taghipour, H., Akbari, A. and Parvin, S. (2015). Effects of supplementation with *Heracleum persicum* fruit extract on serum lipids in patients undergoing coronary angiography: a pilot trial. *Phytotherapy Research*, 29, 141-143.
- 10- Daemi-Saeedabad, M., Falahati-Anbaran, M., Vivian-Smith, A., Shojaeian, A., & Stenøien, H.K. (2019). Novel microsatellite markers in *Heracleum* (Apiaceae) developed with ddRADseq reveal taxonomic significance in closely related species complex. submitted.
- 11- Darriba, D., Taboada, G.L., Doallo, R., and Posada, D. (2012). jModelTest 2: more models, new heuristics and parallel computing. *Nature Methods*, 9(8), 772.
- 12- Falahati-Anbaran, M., Mohammadi Bazargani, M., & Rohloff, J. (2018). Large scale geographical mapping of essential oil volatiles in *Heracleum* (Apiaceae): identification of novel compounds and unraveling cryptic variation. *Chemistry & Biodiversity*, 15, e1800230.
- 13- He, X., Pu, F. (1992). Pollen morphology of the genus *Heracleum* from South-Western China and its systematic significance. *Acta Botanica Yunnanica*, 12, 405-412.
- 14- He, X., Pu, F., Wang, Y., & Wang, L. (1995). Anatomical studies on petiole of *Heracleum* from China. *Bulletin of Botanical Research*, 15, 72-83.
- 15- He, X., Wang, Y., Pu, F., Wang, P. & Xu, J. (1998). Anatomical studies on fruit of the genus *Heracleum* from China and its revision of systematics. *Acta Botanica Yunnanica*, 20, 295-302.
- 16- Huelsenbeck, J. P., Ronquist F. R. (2001). MRBAYES: Bayesian inference of phylogenetic trees. *Bioinformatics*, 17, 754-755.
- 17- Logacheva, M. D., Valiejo-Roman, C. M. & Pimenov, M.G. (2008). ITS phylogeny of West Asian *Heracleum* species and related taxa of Umbelliferae-Tordylieae WDJ Koch, with notes on evolution of their *psbA-trnH* sequences. *Plant Systematics and Evolution*, 270, 139-157.
- 18- Radjabian, T., Salimi, A. & Rahmani, N. (2014). Essential oil composition of the fruits of six *Heracleum* L. species from Iran: chemotaxonomic significance. *Chemistry and Biodiversity*, 11, 1945-1953.
- 19- Rambaut, A., Drummond, A.J. & Suchard, M. (2003-2013). MCMC Trace Analysis Package.
- 20- Rechinger, K. H. 1987. *Flora Iranica*, No. 162: Umbelliferae. Graz: Akademische Druck und Verlagsanstalt. 555 pages.
- 21- Rijal, D. P., Falahati-Anbaran, M., Alm, T., & Alsos, I. G. (2015). Microsatellite markers for *Heracleum persicum* (Apiaceae) and allied taxa: Application of next-generation sequencing to develop genetic resources for invasive species management. *Plant molecular biology reporter*, 33(5), 1381-1390.
- 22- Rozas, J., Ferrer-Mata, A., Sánchez-DelBarrio, J. C., Guirao-Rico, S., Librado, P., Ramos-Onsins, S. E., & Sánchez-Gracia, A. (2017). DnaSP 6: DNA sequence polymorphism analysis of large data sets. *Molecular biology and evolution*, 34(12), 3299-3302.
- 23- Shu, P., Chen, H., Yuan, C.Q., Zou, Q. G., & Sheh, M. L. (2001). Application of high-resonance pyrolysis-gas chromatography in the taxonomy of Peucedaneae Drude. *Journal of Plant Resources and Environment*, 10, 51-55.
- 24- Timme, R. E., Kuehl, J. V., Boore, J. L. & Jansen, R. K (2007). A comparative analysis of the *Lactuca* and *Helianthus* (Asteraceae) plastid genomes: identification of divergent regions and categorization of shared repeats. *American Journal of Botany*, 94, 302-313.

- 25- Yousefzadeh, H., Colagar, A. H., Yousefi, E., Badbar, M., & Kozlowski, G. (2019). Phylogenetic relationship and genetic differentiation of *Populus caspica* and *Populus alba* using cpDNA and ITS noncoding sequences. *Journal of Forestry Research*, 30(2), 451-461.
- 26- Yu, Y., Downie, S. R., He, X., Deng, X., & Yan, L. (2011). Phylogeny and biogeography of Chinese *Heracleum* (Apiaceae tribe Tordylieae) with comments on their fruit morphology. *Plant Systematics and Evolution*, 296, 179-203.

## Phylogenetic Relationships in the *Heracleum* sp. Species Complex from Iran by Using Nuclear Ribosomal DNA (ITS) and *rpl32-trnL*

Eidi M.<sup>1</sup> Ebadi M.T.<sup>1</sup> Falahati-Anbaran M.<sup>2</sup> and Shojaeiyan A.<sup>1</sup>

<sup>1</sup> Dept. of Horticultural Science, Faculty of Agriculture, Tarbiat Modares University, Tehran, I.R. of Iran.

<sup>2</sup> Dept. of Plant Sciences, School of Biology, College of Science, University of Tehran, Tehran, I.R. of Iran.

### Abstract

Apiaceae is one of the largest plant families with worldwide distribution including 114 genera and 363 species in Iran. *Heracleum* (Golpar) consists more than 100 species that mainly occur in northern hemisphere, eight of them being reported in Iran including three endemic species. Based on taxonomic descriptions in Flora Iranica, the species reported within *Pubescentia* and *Wendia* sections have several morphological similarities, and display extensive geographical variation in taxonomic characters. The nuclear ITS and the chloroplast *rpl32-trnL* nucleotide sequences were used to evaluate the genetic relationships among different populations of *Heracleum* species. The Bayesian phylogenetic analysis showed that the genetic relationships inferred from nuclear and chloroplast regions were relatively similar, but a higher number of variable and parsimony informative sites were observed in ITS compared to that in *rpl32-trnL* region. The phylogenetic tree constructed with the combined sequences could separate the species associated with the different sections, but could not separate the species within each section. The results of this study indicate that the molecular data is in agreement with the morphological data reported in Flora Iranica to delimit species at section level. However various populations of the different species in each section, except *H. gorganicum* and a population of *H. anisactis*, could not be distinguished from the others. The result suggests that more work is required to clarify the taxonomic classification for the endemic Iranian species, including *H. anisactis* and *H. rechingeri*, as a separate species.

**Key words:** Species complex, Phylogenetic relationship, *Heracleum*, ITS, *rpl32-trnL*